

*Д. А. Ягодников, А. В. Воронецкий*

## ВЛИЯНИЕ СКОРОСТНОЙ НЕРАВНОВЕСНОСТИ НА ОСОБЕННОСТИ РАСПРОСТРАНЕНИЯ ЛАМИНАРНОГО ПЛАМЕНИ В АЭРОДИСПЕРСНОЙ СРЕДЕ

Предложена двухконтинуальная нестационарная модель распространения и стабилизации ламинарного пламени в аэровзвеси металлических частиц с использованием эйлерова подхода для описания состояния газа и лагранжева — для дисперсной фазы. В уравнении теплового баланса частиц учитывается конвективный и радиационный теплообмен, а также тепловыделение на кинетическом и диффузионном режимах горения. Представлены результаты численного расчета характеристик установившегося сферически симметричного фронта пламени в аэровзвеси частиц алюминия. Исследовано влияние скоростной неравновесности фаз на основные характеристики пламени. Определены зависимости нормальной скорости пламени от начальных значений массовой концентрации частиц, их размера и давления.

Исследованию ламинарных пламен посвящено достаточно большое количество научных публикаций. Неослабевающий интерес к данной области теории горения обусловлен фундаментальным характером основных закономерностей процесса распространения ламинарного пламени, детальное изучение которых служит основой для определения физико-химических констант реагирующих смесей, а кроме того, необходимо для качественного и количественного описания определенных режимов турбулентного горения. Отметим также, что в работах по стабилизации пламени [1] нормальная скорость пламени рассматривается в качестве одного из базовых критериев, например, при анализе границ устойчивого горения с помощью теории подобия и критерия Михельсона.

Моделирование ламинарного пламени в аэродисперсной среде первоначально основывалось на тепловой теории распространения пламени [2], позволяющей аналитически определить значение нормальной скорости. Этот подход, удовлетворительно описывающий процессы горения в гомогенных средах, не позволяет детально проанализировать структуру двухфазных пламен, выявить внутреннюю связь исследуемых процессов. В более адекватных реальности математических моделях [3, 4] используются фундаментальные законы переноса энергии и массы реагентов, причем в постановке, учитывающей наличие в системе объемных источников тепловыделения. Однако авторы этих работ принимают допущения о равенстве скоростей фаз и постоянной температуре среды в момент воспламенения частиц  $T_v$  (температура воспламенения частиц), что не всегда оправдано и требует специального обоснования. Кроме того, обычно задача рассматривается в стационарной постановке, поэтому данные о нестационарных режимах достаточно ограничены.

Цель данной работы — математическое моделирование и исследование закономерностей распространения ламинарного пламени по монодисперсной аэровзвеси частиц алюминия. Для реализации максимальной степени приближения при описании процессов, имеющих место в классическом ламинарном пламени, в работе учтены скоростная неравновесность потока, кондуктивно-радиационный теплообмен, а также особенности тепловыделения как на кинетическом, так и на диффузионном режимах горения.

Не останавливаясь подробно на общепринятых допущениях, заимствованных из [4, 5], отметим, что в задачу настоящего исследования входит анализ влияния на конечные результаты особенностей записи и решения исходной системы уравнений. В работе [5] для описания процесса используется функция плотности распространения вероятности (ПРВ). Однако присущая этому методу числовая диффузия приводит к постепенной трансформации монодисперсной аэровзвеси в полидисперсную, а потока — в квазиламинарный со слабой турбулизацией, что оказывает определенное влияние на получаемые расчетные значения харак-

теристик ламинарного пламени. Поэтому с целью исключения числовой диффузии подсистема уравнений для дисперсной фазы в данной работе записывается в полных (субстанциональных) производных, которые характеризуют изменение температуры, массы и скорости частиц вдоль траектории их движения (т. е. используются переменные Лагранжа).

Система уравнений для газовой фазы решается с использованием эйлеровой расчетной сетки. На необходимость сочетания эйлерова и лагранжева подходов при моделировании процессов горения в потоках указывалось в работах [6, 7], однако применительно к аэровзвеси частиц алюминия такая постановка задачи рассматривается впервые.

В данной работе используется одномерная сферическая система координат, поскольку в этом случае непосредственно определяется значение нормальной скорости  $u_n$ . Кроме того, реализуемая гидродинамика с торможением потока соответствует достаточно распространенному на практике течению в диффузорных каналах. Благодаря этому удается моделировать процесс стабилизации ламинарного пламени, так как он устанавливается в том сечении, где значение  $u_n$  равняется скорости несущего газа в холодной аэровзвеси. С другой стороны, данный подход приемлем и при анализе плоских пламен, поскольку при значительном удалении от центра симметрии кривизна пламени становится пренебрежимо малой. Тогда исходная система уравнений для газовой фазы (в переменных Эйлера), записанная с целью упрощения в векторной форме, имеет вид

$$\begin{aligned} \rho c_p \frac{\partial T}{\partial t} + u \rho c_p \operatorname{grad} T &= \operatorname{div} \lambda \operatorname{grad} T + Q_r, \\ \rho \frac{\partial m}{\partial t} + \rho u \operatorname{grad} m &= \operatorname{div} \rho D \operatorname{grad} m - G, \\ \frac{\partial \rho}{\partial t} + \operatorname{div} (\rho u) &= -G, \quad \frac{\partial h}{\partial t} + \operatorname{div} (n u_k) = 0, \\ Q_r &= q 4 \pi r_k^2 \rho_k n \frac{dr_k}{dt} - 4 \pi r_k^2 \rho_k c_k n \frac{dT_k}{dt}, \\ G &= K_m^0 m 4 \pi r_k^2 \rho_k n \frac{dr_k}{dt}, \quad p = (1 - g) \rho R T, \end{aligned} \quad (1)$$

где  $n$  — счетная концентрация частиц;  $u_k$ ,  $c_k$ ,  $r_k$ ,  $\rho_k$  — скорость движения, теплоемкость, радиус и плотность частицы;  $p$ ,  $c_p$ ,  $\rho$ ,  $T$ ,  $u$  — давление, теплоемкость, плотность, температура и скорость газа;  $R$  — газовая постоянная;  $m$ ,  $g$  — относительные массовые концентрации окислителя и частиц;  $q$  — тепловой эффект, отнесенный к единице массы горючего;  $K_m^0$  — стехиометрическое соотношение;  $\lambda$ ,  $\eta$ ,  $D$  — коэффициенты молекулярной теплопроводности, динамической вязкости и диффузии газа.

Уравнения баланса энталпии  $H_k$ , массы  $m_k$  и количества движения частиц, используя субстанциональные производные, запишем следующим образом:

$$\begin{aligned} \frac{dH_k}{dt} &= 4/3 \pi r_k^2 \rho_k c_k \frac{dT_k}{dt}, \\ \frac{dm_k}{dt} &= 4 \pi r_k^2 \rho_k \frac{dr_k}{dt}, \quad \frac{d(m_k u_k)}{dt} = -F. \end{aligned} \quad (2)$$

На основе анализа опубликованных данных по воспламенению частиц алюминия в воздухе [8] принято, что кинетический режим горения переходит к парофазному при достижении частицей температуры  $T_k^B = 2100$  К. Входящие в систему (2) выражения, описывающие скорости изменения температуры и радиуса частицы на стадиях воспламенения и горения, заимствованы из работы [9]:

$$\frac{dr_k}{dt} = \begin{cases} 10^4 m \exp(-8500/T_k), & T_k < T_k^B, \\ \frac{1}{A(80000/r_k + 1)}, & T_k = T_k^B, \end{cases}$$

$$\frac{dT_k}{dt} = \begin{cases} \frac{3}{\rho_k r_k c_k} \left[ \rho_k q \frac{dr_v}{dt} + \text{Nu} \lambda (T - T_k) / 2r_k + \varepsilon \sigma (T_\infty^4 - T_k^4) \exp(-R/l) \right], & T_k < T_k^B, \\ 0, & T_k = T_k^B, \end{cases}$$

где  $A = 0,32 (B_k^2 + 0,1) [(p \cdot 10^{-5} - 70)^2 + 6600]$ ;  $\varepsilon$ ,  $\sigma$  — степень черноты поверхности частицы и постоянная Стефана — Больцмана;  $l$  — длина пробега излучения;  $T_\infty$  — температура газа на внешней границе.

В отличие от работ [2—4], в указанных зависимостях учитывается влияние давления, температуры и массовой концентрации частиц на скорость нагрева и горение частиц.

Сила аэродинамического воздействия на частицу определяется с учетом зависимостей коэффициентов сопротивления от геометрических и теплофизических параметров [10]:

$$\begin{aligned} F &= B \gamma (u_k - u) \rho_k / \tau_p, \\ \gamma &= 1 + 0,179 \text{Re}^{0,5} + 0,013 \text{Re}, \\ B &= 1 + 0,03 \left| \frac{T - T_k}{T} \right| \left( \frac{T_k}{T} \right)^{2,38} \frac{\text{Nu}}{\text{Pr Re}}, \quad \text{Pr} = \frac{\eta c_p}{\lambda}, \\ \text{Nu} &= 2 + 0,6 \text{Pr}^{0,33} \text{Re}^{0,5}, \quad \text{Re} = \frac{|u - u_k| 2r_k \rho}{\eta}, \quad \tau_p = \frac{r_k^2 \rho_k}{4,5 \eta}. \end{aligned}$$

Принимаем, что в начальный момент времени во всем объеме ( $R_0 < R < R_\infty$ )  $m = m^0$ ,  $T = T_k^0$ . Границные условия задаются в виде

$$\begin{aligned} R &= R_0, \quad T_k = T_k^0, \quad T = T^0, \quad u = u_k = u_k^0, \quad n^0 = B_k / m_k^0, \\ R &= R_\infty: \quad \frac{\partial T}{\partial R} = \frac{\partial n}{\partial R} = \frac{\partial m}{\partial R} = 0. \end{aligned}$$

Здесь  $R_0$  — радиус источника аэровзвеси;  $R_\infty$  — условный радиус внешней границы;  $B_k$  — массовая концентрация частиц.

Решение систем (1), (2) проводилось конечно-разностным методом, а сходимость полученного решения контролировалась по устойчивости рассчитанных значений массовой скорости горения. Значения теплофизических параметров газовой фазы, приведенные в работе [11], аппроксимированы полиномами, аргументом которых является температура газа. Совместное использование переменных Эйлера — Лагранжа предполагает вполне определенную интерполяцию между расчетными сетками. Поскольку принята одномерная модель, то траектория движения частиц всегда проходит через узловые точки расчетной сетки и параметры газовой и дисперсной фаз в них вычисляются однозначно.

Остановимся вначале на результатах расчетов характеристик ламинарного пламени (рис. 1) в зависимости от безразмерной координаты  $x = (R - R_0) / (R_\infty - R_0)$ . В соответствии с принятой в данной работе сферической постановкой задачи исходная топливная смесь поступает из центрального источника и воспламеняется горячим газом ( $T_k^0 = 2000$  К). Поскольку в этом случае скорость газа (в зоне перед пламенем) уменьшается обратно пропорционально расстоянию от центра, то пламя, положение которого отождествляется с зоной максимального объемного тепловыделения  $Q$ , стабилизируется в том сечении  $x_f$ , где выполняется условие  $u_n = u_f$ . Из рис. 1 видно, что по мере продвижения в глубь пламени температура частиц увеличивается  $\Theta = (T_k - T_k^0) / (T_k^B - T_k^0)$  и степень их выгорания  $\varphi = m_k / m_k^0$ . Изменение интенсивности объемного тепловыделения  $Q = Q/Q_{\max}$  носит экстремальный характер, причем нисходящая ветвь зависимости  $Q(x)$  имеет достаточно пологий вид, что объясняется сравнительно большим временем горения частиц алюминия (~5 мс). Место инициирования воспламенения не оказывало влияния на основные расчетные характеристики, а определяло только время, необходимое для стабилизации пламени.

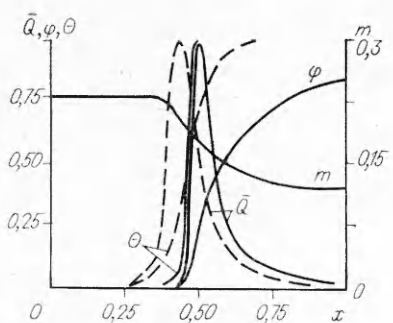


Рис. 1. Структура ламинарного пламени;  $p = 0,1$  МПа,  $B_k = 0,2$  кг/м<sup>3</sup>,  $r_k = 11$  мкм.  
— — — расчет по модели [5].

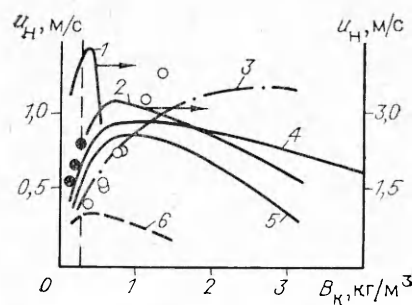


Рис. 2. Зависимость  $u_n(B_k)$ ;  $p = 0,1$  МПа.  
Расчет по (1), (2),  $r_k$ , мкм: 1 — 1, 2 — 5, 4 — 11, 5 — 11 (при условии  $u_K = u$ ); расчет по другим моделям для  $r_k = 11$  мкм: 3 — [5], 6 — [2]; эксперимент (ACD-1): ○ — [3], ● — [12]

Сравнение полученных данных, соответствующих классическим представлениям о ламинарном пламени, с результатами расчетов по другим методикам позволяет оценить корректность принятых допущений. Как видно из рис. 1, числовая диффузия, присущая методикам, в которых используются функции ПРВ [5, 9], заметно влияет на структуру пламени. Как следствие этого, в зоне предпламенения реакций оказываются уже воспламенившиеся частицы, а в зоне диффузионного горения появляются частицы, реагирующие с окислителем в кинетическом режиме. В результате наблюдается увеличение протяженности зоны прогрева и толщины ламинарного пламени (штриховые линии на рис. 1).

Поскольку наибольший практический интерес представляют данные по влиянию на нормальную скорость пламени массовой концентрации частиц горючего  $B_k$ , размера частиц  $r_k$  и давления, рассмотрим более подробно именно эти зависимости.

**Влияние массовой концентрации частиц.** Проведенный анализ теоретических и экспериментальных работ указывает на противоречивость имеющейся информации по данному вопросу [2, 3, 12–14]. В значительной степени это объясняется различиями в условиях проведения экспериментов, а также особенностями используемых физико-математических моделей. Для ряда исследований характерно, что измеряется не нормальная, а видимая скорость пламени. Кроме того, существенное влияние здесь могут оказывать автотурбулизация потока в рабочем участке и искривление поверхности пламени [3, 12].

Проанализируем сначала полученную расчетную зависимость  $u_n(B_k)$  для аэровзвеси с размером частиц  $r_k = 11$  мкм, соответствующим среднемассовому размеру порошкообразного алюминия марки АСД-1, использовавшегося в экспериментах [3, 12]. На рис. 2 результаты по предложенной модели и на основе тепловой теории [2] согласуются лишь качественно. Эти зависимости, присущие и гомогенным топливным композициям, имеют экстремальный характер. Однако учет скоростной неравновесности потока, зависимостей температуры воспламенения и времени горения частиц от  $B_k$  приводит к смещению максимума  $u_n$  в сторону переобогащенной аэровзвеси. В частности, в случае  $r_k = 11$  мкм максимум по предложенной модели реализуется в области  $B_k = 0,9 \div 1,1$  кг/м<sup>3</sup>, а по методике [2] при  $B_k = 0,4 \div 0,5$  кг/м<sup>3</sup>.

Сравним далее полученные данные с результатами расчетов по методике, в которой используются функции ПРВ [5]. Как видно из рис. 2, условная турбулизация потока за счет числовой диффузии приводит к увеличению максимальных значений  $u_n$  (на ~20 %) и смещению максимума зависимости  $u_n(B_k)$  в область  $B_k = 3$  кг/м<sup>3</sup>.

С целью определения влияния скоростной неравновесности потока на характеристики пламени проведен расчет для предельного случая,

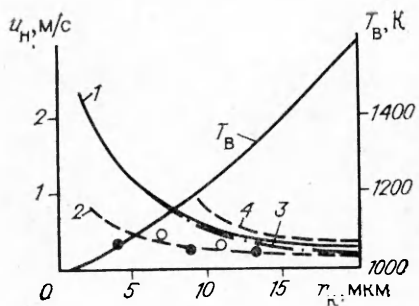


Рис. 3. Зависимости  $u_n$  и  $T_b$  от  $r_k$ ;  $B_k = 0,2 \text{ кг}/\text{м}^3$ ,  $p = 0,1 \text{ МПа}$ .

Расчет по (1), (2): 1 — скоростная неравновесность потока, 3 —  $u_{R_k} = u$ ; расчет по модели [14]: 2 —  $T_b = \text{const} = 2300 \text{ К}$ , 4 —  $T_b = f(r_k)$ ; эксперимент:  $\circ$  — [2],  $\bullet$  — [14].

когда скорости газа и частиц равны. Установлено, что нормальная скорость ламинарного пламени уменьшается, причем значение  $u_n$  снижается на  $\sim 10\%$  в области максимума кривой и на 50—60% в области переобогащенной аэровзвеси. Вероятно, это объясняется увеличением температуры воспламенения частиц (например, для  $B_k = 0,2 \text{ кг}/\text{м}^3$  от 1260 до 1500 К) за счет уменьшения коэффициента теплоотдачи ( $Re = 0$ ,  $Nu = 2$ ). При этом максимум  $u_n$  смещается в сторону стехиометрической аэровзвеси ( $B_k = 0,7 \div 0,8 \text{ кг}/\text{м}^3$ ).

**Влияние начального размера частиц.** При проведении расчетов установлено, что уменьшение размера частиц приводит к увеличению скорости распространения фронта пламени (рис. 3). Это объясняется не только уменьшением времени индукции воспламенения и горения частицы, увеличением их объемной концентрации, но также и снижением  $T_b$  от 1240 до 900 К ( $r_k = 11$  и 1 мкм соответственно). Приведенные данные качественно согласуются с расчетами, выполненными в работе [14] по кондуктивно-радиационной модели. Видно, что полученная зависимость лучше согласуется с вариантом расчета [14], в котором учитывается зависимость  $T_b(r_k)$ . При этом, согласно экспериментальным данным [15], при  $3 < r_k < 20 \text{ мкм}$   $T_b = 980 \div 1800 \text{ К}$ .

Рассчитанные по уравнениям (1), (2) величины  $T_b$  близки к экспериментальным. Определенные по методике [14] значения  $u_n$  в предположении о независимости  $T_b$  от  $r_k$  и ее равенстве температуре плавления оксида алюминия ( $T_b = 2300 \text{ К}$ ), оказались несколько меньшими за счет увеличения периода индукции воспламенения частиц. Данное допущение, хотя и достаточно приближенное [15], позволяет получить зависимость  $u_n(r_k)$  (см. рис. 3, 2), которая удовлетворительно согласуется с экспериментальными данными [2, 14].

Установлено также, что максимум зависимости  $u_n(B_k)$  смещается в сторону стехиометрии (вертикальная штриховая линия на рис. 2) и достигается для начального радиуса частиц 5 и 1 мкм при  $B_k \approx 0,6$  и  $0,4 \text{ кг}/\text{м}^3$  соответственно. Полученный результат позволяет заключить, что для аэровзвеси частиц бесконечно малого размера нормальная скорость пламени в аэродисперсных системах, так же как и в гомогенных смесях, должна иметь максимальную величину при близких к стехиометрическим значениях  $B_k$ .

Кроме того, с уменьшением  $r_k$  снижается влияние скоростной неравновесности (см. рис. 3), что связано со снижением времени релаксации частиц ( $\tau_p \sim r_k^{-2}$ ). Ускорение процесса релаксации приводит к тому, что рассчитанная в предположении  $u_k = u$  величина  $u_n$  равняется полученной для скоростной неравновесности. Таким образом, можно считать, что для аэровзвесей при  $r_k < 5 \text{ мкм}$  предположение о равенстве скоростей газа и частиц не приводит к большим погрешностям в определении  $u_n$ .

Обратим внимание на то, что имеющееся количественное отличие экспериментальных данных и теоретических зависимостей, рассчитанных по различным методикам, объясняется, по-видимому, недостаточным уровнем надежности данных по скоростям гетерогенного и парофазного взаимодействия алюминия с воздухом, особенно для частиц с  $r_k < 5 \text{ мкм}$ .

**Влияние давления.** В экспериментально-теоретических исследованиях гомогенных смесей установлено, что увеличение давления может приводить как к снижению  $u_n$ , например, в метановоздушной смеси [1], так и к увеличению, например, в водородовоздушной [16]. Применительно же к аэровзвесям данные по влиянию давления весьма ограничены. В работе [12] определены скорости распространения ламинарного пламени по аэровзвеси алюминия марки АСД-1 при  $p = 0,1 \div 1$  МПа, однако эксперименты проводились в трубе без визуализации, поэтому полученные значения соответствуют не нормальной, а видимой скорости, которая (если форма пламени отлична от плоской) всегда больше  $u_n$ .

Результаты расчетного исследования влияния давления на характеристики ламинарного пламени представлены в таблице. Следует подчеркнуть, что при определении скорости изменения массы частицы учтена зависимость времени горения отдельной частицы от давления [17]. Установлено, что с увеличением  $p$  до 1,2 МПа  $u_n$  возрастает на  $8 \div 17\%$ . Подобный характер зависимости объясняется следующим образом. С одной стороны, при изменении  $p$  от 0,1 до 1,2 МПа уменьшается время горения частиц [17] и, следовательно, увеличиваются градиенты параметров во фронте пламени. С другой стороны, как показали расчеты, наблюдается снижение температуры воспламенения частиц за счет роста коэффициента теплопередачи, что ведет к уменьшению периода индукции воспламенения. Так, критерий Nu в исследуемом диапазоне давления увеличивается от 2,24 до 2,91, причем по мере повышения давления ускоряются процессы скоростной релаксации частиц, что отражает тенденцию уменьшения Nu. Данный факт подтверждается результатами расчета для случая скоростной равновесности аэровзвеси, когда скорость снижается на  $\sim 7\%$  за счет роста температуры (см. таблицу).

В таблице также приведены экспериментальные данные работы [12]. Имеющееся расхождение расчетных и экспериментальных величин объясняется тем, что последние не приведены к значениям  $u_n$ . Кроме того, отличия, вероятно, обусловлены полидисперсным составом использовавшегося в экспериментах порошка АСД-1.

Таким образом, в результате расчетов по предложенной модели определены основные характеристики ламинарного пламени в зависимости от начальных значений массовой концентрации частиц, их размера, давления. Исследовано влияние на эти характеристики скоростной неравновесности, что позволило оценить границы применимости допущения о равенстве скоростей фаз в задачах, связанных с распространением пламени в аэровзвеси.

#### ЛИТЕРАТУРА

- Физические основы рабочего процесса в камерах сгорания воздушно-реактивных двигателей/Б. В. Раушенбах, С. А. Белый, И. В. Беспалов и др.—М.: Машиностроение, 1964.
- Cassel H. M., Das Gupta A. K., Guruswamy S. Factors affecting flame propagation through dust clouds // Third Symp. on Combust. Flame and Explosion Phenomena.—Baltimore, 1949.—Р. 185.
- Шевчук В. Г., Кондратьев Е. И., Золотко А. И. и др. О режимах распространения пламени в аэровзвесях металлических частиц // ФГВ.—1982.—18, № 5.—С. 70.
- Иванющева Л. И., Степанов А. М. Нестационарное распространение пламени в газовзвеси частиц твердого горючего // Там же.—1977.—13, № 5.—С. 699.
- Ягодников Д. А., Воронецкий А. В., Сухов А. В. Распространение ламинарного

$p$ , МПа	$T_B$ , К	$u_n$ , м/с	$w_f$ , м/с	$\Phi$
0,1	1260 (1500)	0,47 (0,43)	0,4	0,82 (0,78)
0,3	1210	0,51	0,5	0,87
0,6	1190 (1400)	0,55 (0,51)	0,7	0,91 (0,88)
1,2	1180 (1460)	0,55 (0,55)	0,7	0,89 (0,86)

Приложение. Цифры в скобках — расчет при условии  $u_K = u$ ;  $w_f$  — экспериментальное значение видимой скорости пламени ( $B_K = 0,21$  кг/м<sup>3</sup>, АСД-1 [12]);  $B_K = 0,2$  кг/м<sup>3</sup>,  $r_K = 11$  мкм.

- пламени в моно- и полидисперсной аэровзвеси // Хим. физика.— 1990.— 9, № 12.— 1611.
6. Сполдинг Д. Б. Общая теория турбулентного горения // РТК.— 1979.— № 2.— С. 185.
  7. Спиргнано В. А. Построение моделей горения в факеле: разрешение линейных масштабов меньше расстояния между каплями // Теплопередача— 1986.— № 3.— 123.
  8. Беспрованных В. А., Раздобреев А. А., Скорик А. И. Горение частиц алюминия в поле лазерного излучения // Физика аэродисперсных систем.— 1986.— Вып. 30.— С. 17.
  9. Воронецкий А. В., Сухов А. В., Павлов Д. Г. и др. Статистическая модель двухфазного реагирующего турбулентного потока // ФГВ.— 1989.— 25.— № 3.— С. 53.
  10. Гавин А. Б., Медведев В. А., Наумов Н. А. Модель двухфазной турбулентной струи с учетом гетерогенного горения частиц // Там же.— 1988.— 24, № 3.— С. 12.
  11. Варгафтик Н. Б. Теплофизические свойства газов и жидкостей.— М.: Наука, 1971.
  12. Кудрявцев В. М., Сухов А. В., Вяткин А. И. Распространение фронта химической реакции в двухфазном потоке // Высокотемпературные газовые потоки, их получение и диагностика.— Харьков: ХАИ, 1987.— Вып. 4.— С. 66.
  13. Агеев Н. Д., Горюшин С. В., Золотко А. И. и др. Скорость стационарного пламени в газовзвесях алюминия // Химическая физика процессов горения и взрыва. Горение гетерогенных и газовых систем.— Черноголовка, 1989.— С. 83.
  14. Шевчук В. Г., Безродных А. К., Бойчук Л. В. и др. О механизме ламинарного пламени в газовзвесях металлических частиц // ФГВ.— 1988.— 24, № 2.— С. 85.
  15. Гуревич М. А., Лапкина К. И., Озеров Е. С. Предельные условия воспламенения частиц алюминия // Там же.— 1970.— 6, № 2.— С. 172.
  16. Басевич В. Я., Беляев А. А., Новожилов Б. В. и др. Численное исследование ламинарного распространения пламени для определения физико-химических характеристик горючей смеси // Химическая физика процессов горения и взрыва. Горение гетерогенных и газовых систем.— Черноголовка, 1986.— С. 8.
  17. Кудрявцев В. М., Сухов А. В., Шиара А. П. и др. Горение металлов при высоких давлениях // ФГВ.— 1979.— 15, № 6.— С. 50.

г. Москва

Поступила в редакцию 16/V 1991,  
после доработки — 23/III 1992

УДК 536.46

*А. Г. Струнина, Л. К. Демидова, А. Н. Фирсов,  
К. Г. Шкадинский, С. В. Костин*

## УСТОЙЧИВОСТЬ СТАЦИОНАРНОГО РЕЖИМА ГОРЕНИЯ МАЛОГАЗОВЫХ СОСТАВОВ ПРИ ТЕПЛО- И МАССООБМЕНЕ ЧЕРЕЗ БОКОВУЮ ПОВЕРХНОСТЬ ЦИЛИНДРИЧЕСКОГО ОБРАЗЦА

Численными методами с использованием одномерной модели горения пористых малогазовых составов исследован процесс горения на пределе устойчивости. Определено влияние степени газификации, местоположения зоны газовыделения во фронте горения, степени герметизации горящего состава и активированности процесса газовыделения на устойчивость стационарного режима.

Вопрос об устойчивости горения того или иного класса систем возникает сразу, как только появляется к ним практический и научный интерес. Основы теории устойчивости горения летучих конденсированных систем заложены Я. Б. Зельдовичем еще в 40-х годах [1]. Дальнейшее развитие эта теория получила в работах [2, 3]. При исследовании устойчивости стационарных режимов горения безгазового состава авторами [4–6] показана возможность распространения стационарного, пульсирующего и спинового режимов горения в зависимости от определяющих параметров реагирующей смеси.

Переход от стационарного к периодическим режимам горения при распространении фронта реакции в пористой конденсированной среде в условиях фильтрационного подвода газообразного окислителя также показан ранее (см., например, [7]). Результаты исследования горения малогазовых составов (МГС), характеризующихся наличием конвектив-